

تحلیل تصادفی مسائل الاستواستاتیک دارای عدم قطعیت مصالح با روش سلول طیفی

پویا زکیان*

دانشیار مهندسی زلزله، گروه مهندسی عمران، دانشکده فنی و مهندسی، دانشگاه اراک.

p-zakian@araku.ac.ir*

تاریخ دریافت ۱۴۰۲/۰۷/۲۷ تاریخ پذیرش ۱۴۰۲/۰۳/۰۵

چکیده

روش سلول طیفی ترکیبی از مفهوم دامنه موهومندی و روش المان طیفی است که با استفاده از شبکه‌های کارتزین موجب آسانی شبکه‌بندی می‌شود. این مقاله روشنی نوین با نام سلول طیفی تصادفی را برای لحاظ عدم قطعیت در مسائل الاستواستاتیک توسعه می‌دهد. روش پیشنهادی همزمان شامل تمام ویژگی‌های روش سلول طیفی و روش المان محدود تصادفی است. روش سلول طیفی تصادفی از توابع درون‌یابی مرتبه بالای المان‌های طیفی از نوع لوپاتو استفاده می‌کند. استفاده از این توابع درون‌یابی با توجه به انگرال‌گیری عددی گاووس-لوپاتو-لزاندر، منجر به افزایش کارآمدی این روش عددی می‌شود. بسطهای کارهیونن لو و چندجمله‌ای‌های آشوبی در روش سلول تصادفی طیفی به کار گرفته می‌شوند. همچنین این روش معادله انتگرالی فردヘルم نوع دوم ناشی از بسط کارهیونن لو میدان تصادفی را با سلول‌های طیفی حل می‌کند. استفاده از شبکه کارتزین، توانمندی محاسباتی در حل معادله انتگرالی فردヘルم و نیز لحاظ توابع شکلی مرتبه بالا از ویژگی‌های موثر روش پیشنهادی است. نمونه‌های عددی فراهم شده در این پژوهش نمایانگر دقیق مناسب روش سلول طیفی تصادفی برای حل مسائل مبنای الاستواستاتیکی است.

کلید واژگان: روش سلول طیفی تصادفی، تحلیل احتمالاتی سازه، مسائل الاستواستاتیک، معادله انتگرالی فردヘルم، عدم قطعیت مصالح.

۱- مقدمه

پیشرفت‌های روبرو شده در فناوری رایانه‌ای. از جنبه تجزیه تصادفی، روش المان محدود تصادفی را می‌توان به رویکردهای شبیه‌سازی مونت‌کارلو، اغتشاشی [۱] و تجزیه طیفی [۲] تقسیم‌بندی کرد [۳]. رویکرد شبیه‌سازی مونت‌کارلو از حل مسئله به ازای بارها تحقق فضای نمونه‌ای بهره می‌جوید. بنابراین این روش با وجود توانایی زیاد در حل مسائل تصادفی، به تعداد زیادی تحلیل نیاز دارد که منجر به تلاش محاسباتی بالا می‌شود. رویکرد اغتشاشی از بسط تیلور ماتریس‌های المان محدود تصادفی استفاده می‌کند که به دلیل نیاز به محاسبه مشتق جزئی

روش المان محدود تصادفی تعمیم روش المان محدود تعیینی سنتی به چارچوب تصادفی است که برای حل مسائل استاتیکی و دینامیکی با مشخصات فیزیکی تصادفی به کار می‌رود. از دیدگاه ریاضی، المان محدود تصادفی یا احتمالاتی به عنوان یک ابزار قدرتمند برای حل معادلات دیفرانسیل جزئی تصادفی به شمار می‌رود.

در دو دهه اخیر، روش المان محدود تصادفی مورد توجه بسیاری از پژوهشگران قرار گرفته است؛ به ویژه با توجه به

روش المان طیفی را نام برد که از المان‌های مرتبه بالای طیفی استفاده می‌کند [10, 11].

با وجود توسعه شگرف روش‌های عددی برای مواجهه با چالش هندسه‌های CAD، مطالعات اندکی در زمینه توسعه روش‌های تصادفی برای چنین هندسه‌هایی انجام شده است چنان‌که تنها می‌توان روش تحلیل ایزوژئومتریک تصادفی [12, 13] و روش سلول محدود تصادفی [14] را نام برد. روش تحلیل ایزوژئومتریک تصادفی توسعه روش تحلیل ایزوژئومتریک [15] در فضای تصادفی است. روش تحلیل ایزوژئومتریک تصادفی، که از توابع پایه B-spline و T-spline بهره می‌جوید، نخست برای تحلیل استاتیکی خطی سازه با رفتار الاستیک توسعه داده شد [12]. در گام بعدی، روش نامبرده برای تحلیل ارتعاش آزاد سازه‌ها با مشخصات مصالح تصادفی و الاستیک به کار رفت که بر پایه حل یک مسئله مقدار ویژه تصادفی تعیین یافته است [13]. از سویی دیگر، روش سلول محدود تصادفی توسعه روش سلول محدود در فضای تصادفی برای مسائل الاستیسیته خطی است که تنها توسعه روش سلول محدود در فضای تصادفی به‌شمار می‌رود. این روش برای حل مسائل استاتیکی مکانیک سازه‌ها به کار رفته است اما تاکنون توسعه روش سلول طیفی برای اینگونه مسائل انجام نشده است.

در این مقاله، روش سلول طیفی تصادفی توسعه داده می‌شود که نه تنها برای تحلیل احتمالاتی هندسه‌های CAD قابل استفاده است بلکه در این روش، حل عددی معادله انتگرالی فردهلم^۱ از نوع دوم نیز برای چنین دامنه‌هایی انجام می‌شود که خود یک توسعه در زمینه ریاضیات کاربردی محسوب می‌شود. روش پیشنهادی بر پایه روش سلول طیفی است و از توابع درون یابی مرتبه بالا بهره می‌جوید، بنابراین دقت مناسبی دارد. همچنین این روش از تعداد سلول کمتری برای گسترش‌سازی معادله انتگرالی فردهلم استفاده می‌کند که به دلیل فرایند تجمعی دوگانه در این مرحله، کارایی محاسباتی را بالاتر می‌برد. افزون بر این، استفاده از توابع شکل طیفی می‌تواند منجر به فرم استاندارد مسئله مقدار ویژه ناشی از آن معادله انتگرالی شود و از سویی دیگر،

این ماتریس‌ها، این روش نیز هزینه محاسباتی بالایی (به ویژه برای مسائل بزرگ مقیاس) دارد. رویکرد تجزیه طیفی از بسط کارهیونن‌لو و بسط چندجمله‌ای آشوبی به ترتیب برای توصیف میدان تصادفی و پاسخ استفاده می‌کند. این رویکرد دقت بالایی دارد اما، همچون دو رویکرد دیگر، هزینه محاسباتی بالایی برای مسائل بزرگ مقیاس دارد. بنابراین تلاش محاسباتی بالای روش‌های المان محدود تصادفی در مقایسه با روش المان محدود تعیینی اجتناب‌ناپذیر است [3]. به همین دلیل، همواره توسعه‌هایی در زمینه کاهش هزینه محاسباتی و افزایش دقت روش‌های المان محدود تصادفی انجام شده است. در این زمینه، به تازگی روش المان محدود طیفی تصادفی (یا روش المان طیفی تصادفی) توسط زکیان و خاجی برای مسائل مکانیک سازه‌ها و انتشار امواج پیشنهاد شده است [4-8]. این روش، مانند روش المان محدود تصادفی سنتی در منبع [2]، از رویکرد تجزیه طیفی استفاده می‌کند. البته کلمه "طیفی" در نام‌گذاری روش المان طیفی تصادفی با کلمه "طیفی" در نام‌گذاری رویکرد طیفی تفاوت دارد. اولی به روش المان طیفی بازمی‌گردد اما دومی بسط‌های تصادفی همچون کارهیونن‌لو را در بر می‌گیرد. حل‌گر سریع برای بسط کارهیونن‌لو، ماتریس جرم قطری، کارایی محاسباتی و دقت مناسب از ویژگی‌های اصلی روش المان طیفی تصادفی است.

از میان روش‌های موجود برای تحلیل سازه‌های با هندسه‌های پیچیده، روش سلول محدود توسط پرویزیان و همکاران [9] پیشنهاد شد که از ترکیب روش المان محدود و مفهوم دامنه موهومی بهره می‌جوید. این روش تلاش لازم برای تولید شبکه را به یک انتگرال‌گیری و فقی تبدیل می‌کند تا مرازهای فیزیکی یک مسئله لحظه شود. روش سلول محدود از شبکه کارتزین استفاده می‌کند که منجر به کاهش دشواری تولید شبکه و افزایش دقت حل می‌شود. این ویژگی موجب کارایی روش سلول محدود در طراحی برپایه رایانه (CAD) می‌شود که در شاخه‌های گوناگون مهندسی به کار می‌رود. از سوی دیگر، از میان روش‌های عددی موجود برای کاهش خطای پراکنده‌گی می‌توان

می توان گسسته سازی کرد.

شکل ۱. دامنه اصلی Ω ، دامنه موهومند Ω_{fd} و دامنه تعمیم یافته Ω_{ed}

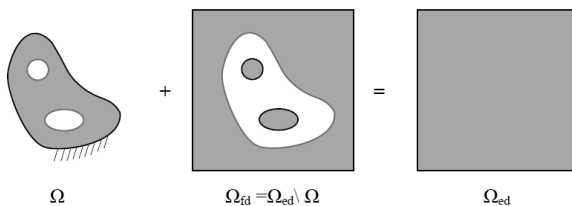


Fig. 1. Physical domain, fictitious domain, and extended domain

در نتیجه معادله (۳) را می توان به گونه زیر بازنویسی کرد:

$$\int_{\Omega_{ed}} \bar{\epsilon}^T \alpha C \epsilon d\Omega = \int_{\Omega_{ed}} \bar{u}^T \alpha b d\Omega + \int_{\Gamma_N} \bar{u}^T f^s d\Gamma \quad (4)$$

که

$$\alpha = \begin{cases} 1 & \text{in } \Omega \\ 0 & \text{in } \Omega_{fd} \end{cases} \quad (5)$$

اکنون با سه نوع سلول روبرو هستیم:

- سلول هایی که کاملاً بیرون از ناحیه Ω قرار گرفته اند و برای

آنها α برابر صفر است؛

- سلول هایی که کاملاً درون ناحیه Ω قرار گرفته اند و برای آنها

α برابر یک است؛

- سلول هایی که توسط مرز ناحیه Ω قطع می شوند که در توابع انتگرال گیری ناپیوستگی ایجاد می کنند، بنابراین برای آنها از الگوریتم چاردرختی در گسسته سازی فضای دو بعدی استفاده می شود، همچون شکل (۲).

دامنه تعمیم یافته با اجتماع تمامی سلول ها تشکیل می شود:

$$\Omega_{ed} = \bigcup_{c=1}^m \Omega_c \quad (6)$$

که در آن Ω_c دامنه یک سلول است و دامنه تعمیم یافته توسط m

سلول تقسیم بندی می شود. بنابراین ماتریس سختی و بردار نیروی

هر سلول از روابط زیر به دست می آید:

$$\mathbf{K}^c = \int_{\Omega^c} \alpha \mathbf{B}^{cT} \mathbf{C} \mathbf{B}^c d\Omega \quad (7)$$

$$\mathbf{F}^c = \int_{\Omega^c} \alpha \mathbf{H}^{cT} \mathbf{b} d\Omega + \int_{\Gamma^c} \mathbf{H}^{cT} \mathbf{f}^s d\Gamma \quad (8)$$

با استفاده از روش گسسته سازی چاردرختی^۱، ماتریس سختی یک سلول را می توان با انتگرال گیری ترکیبی روی زیر سلول ها به دست آورد. همانند روش المان طیفی، از فرمول بندی

نیازی به تشکیلتابع ویژه نخواهد بود و بردار ویژه به طور مستقیم برای محاسبات قابل کاربرد است چراکه نقاط انگرال گیری سلول طیفی بر نقاط گرهی آن مطابق است.

۲- روش سلول طیفی

روش سلول محدود برای نخستین بار توسط پرویزیان و همکاران معرفی شد و سپس روش سلول طیفی توسعه داده شد [۹, ۱۶].

شبکه بندی مسائل با استفاده از روش های سلول محدود و طیفی نسبتاً ساده است و در نتیجه این روش ها می توانند به خوبی آثار هندسه پیچیده و برخی از ناپیوستگی ها را با دقت و کارایی محاسباتی مناسب مدل سازی کنند. روش سلول طیفی بر اساس تعریف دو دامنه اصلی و موهومند در مسئله استوار است.

در این بخش معادلات حاکم بر مسئله الاستواستاتیک بررسی می شوند:

$$\begin{aligned} \nabla \cdot \sigma + \mathbf{b} &= \mathbf{0} && \text{in } \Omega \\ \mathbf{u} &= \mathbf{u}^D && \text{on } \Gamma_D \\ \sigma \cdot \mathbf{n} &= \mathbf{f}^N && \text{on } \Gamma_N \end{aligned} \quad (1)$$

که این معادله در دامنه Ω مسئله الاستیک خطی برقرار است؛ \mathbf{b} نیروی حجمی و σ تانسور تنش است. \mathbf{f}^N بار سطحی برای شرایط مرزی نیرویی ($\Gamma_N \subset \Gamma$) است؛ شرایط مرزی جابه جایی ($\Gamma_D \subset \Gamma$) نیز روی مرز اعمال می شود، \mathbf{n} بردار یکه عمود بر سطح دامنه (مرز Γ_N) است. همچنین رابطه تنش-کرنش و رابطه کرنش-جابه جایی برابر هستند با:

$$\sigma = C \epsilon, \quad \epsilon = B u \quad (2)$$

که در این معادله C ماتریس الاستیسیته است. فرم تضعیف شده

معادله (۱) به گونه زیر نوشتہ می شود:

$$\int_{\Omega} \bar{\epsilon}^T C \epsilon d\Omega = \int_{\Omega} \bar{u}^T \mathbf{b} d\Omega + \int_{\Gamma_N} \bar{u}^T \mathbf{f}^s d\Gamma \quad (3)$$

که در آن \mathbf{u} بردار جابه جایی، $\bar{\mathbf{u}}$ بردار جابه جایی مجازی، و $\bar{\epsilon}$ بردار کرنش مجازی است.

برای گسسته سازی مسئله با استفاده از روش سلول محدود، دامنه Ω به دامنه Ω_{ed} تعمیم داده می شود که در شکل (۱) نشان داده شده است. سپس دامنه جدید را با سلول های مستطیلی شکل منظم

هر زیرسلول نیز، در صورت تقاطع، دوباره به چهار زیر سلول تقسیم می شود. این مرحله تا دستیابی به دقت مورد نظر یا تعداد سطح تقسیمات از پیش تعريف شده، مداوم تکرار خواهد شد تا هندسه دامنه فیزیکی با دقت مناسبی پیاده سازی شود.

۳- روش سلول طیفی تصادفی

۳-۱- فرمول بندی

در این بخش نخست فرمول بندی روش سلول طیفی تصادفی (روش پیشنهادی) برای مسائل الاستواستاتیک توسعه داده می شود. سپس حل عددی معادله انتگرالی فردholm با استفاده از روش سلول طیفی توسعه می یابد چراکه در بسط کارهیونن لو برای روش سلول طیفی تصادفی استفاده خواهد شد. چنانچه ضریب الاستیسته یک میدان تصادفی باشد، ماتریس الاستیسته تصادفی را می توان به گونه زیر نشان داد:

$$\mathbf{C}(\mathbf{x}, \theta) = E(\mathbf{x}, \theta) \mathbf{C}_0 \quad (13)$$

که در آن ماتریس الاستیسته مضربی از یک ماتریس ثابت \mathbf{C}_0 است. با تجزیه میدان تصادفی با بسط کارهیونن لو، می توان نوشت:

$$E(\mathbf{x}, \theta) = \alpha_0 \bar{E}(\mathbf{x}) + \alpha_f \sum_{i=1}^{\infty} \sqrt{\lambda_i} \varphi_i(\mathbf{x}) \xi_i(\theta) \quad (14)$$

به گونه ای که نخستین جمله بخش میانگین و جمله دوم بخش نوسانی میدان تصادفی را نشان می دهد. مقادیر ویژه و توابع ویژه با حل عددی معادله انتگرالی فردholm به دست می آید. مقادیر α_0 و α_f به ترتیب متناظر با مقادیر میانگین و نوسانی دامنه فیزیکی هستند. بنابراین ماتریس سختی هر سلول به صورت زیر نوشه می شود:

$$\mathbf{K}^c = \mathbf{K}_0^c + \sum_{i=1}^{\infty} \mathbf{K}_i^c \xi_i(\theta) \quad (15)$$

که در آن

$$\mathbf{K}_0^c = \int_{\Omega^c} \alpha_0 \bar{E}(\mathbf{x}) \mathbf{B}^{cT} \mathbf{C}_0 \mathbf{B}^c d\Omega \quad (16)$$

و

$$\mathbf{K}_i^c = \sqrt{\lambda_i} \int_{\Omega^c} \alpha_f \varphi_i(\mathbf{x}) \mathbf{B}^{cT} \mathbf{C}_0 \mathbf{B}^c d\Omega \quad (17)$$

بدیهی است که از الگوریتم چاردرختی با انتگرال گیری عددی گاووس-لوباتو-لزاندر برای محاسبه این انتگرال ها استفاده می

ایزوپارامتریک برای استخراج معادلات و ماتریس های هر سلول، استفاده می شود. آنگاه از روش انتگرال گیری عددی گاووس-لوباتو-لزاندر همراه با الگوریتم چاردرختی استفاده می شود. برای دستیابی به مقادیر جایه جایی در هر سلول از رابطه زیر استفاده می شود:

$$\mathbf{u} = \mathbf{H} \mathbf{U} \quad (9)$$

که \mathbf{H} نمایانگر ماتریس توابع شکل و \mathbf{U} بردار جایه جایی گرهی است. برای نمونه، در تشکیل توابع درون یابی و انتگرال گیری عددی برای سلول طیفی مرتبه سوم، از مقادیر مختصاتی \mathbf{x}_3 و وزنی \mathbf{w}_3 زیر استفاده می شود:

$$\begin{aligned} \mathbf{x}_3 &= [-1.0000, -0.4472, 0.4472, 1.0000], \\ \mathbf{w}_3 &= [0.1667, 0.8333, 0.8333, 0.1667] \end{aligned} \quad (10)$$

توابع شکل روش سلول طیفی بر اساس چندجمله ای های لاغرانژ همراه با نقاط گاووس-لوباتو-لزاندر است، برای نمونه، یک سلول طیفی دو بعدی مرتبه ۳ دارای ۱۶ گره است که تابع درون یابی یکی از این گره ها برابر است با:

$$h_1 = 0.3906 (r+0.4472)(s+0.4472) \times (r-0.4472)(s-1.0)(s-1.0) \quad (11)$$

چنان که r و s مختصه های ایزوپارامتریک هستند.

پس از تجمعی ماتریس های تمام سلول ها، به رابطه تعادل حاصل از روش سلول طیفی می رسیم:

$$\mathbf{KU} = \mathbf{F} \quad (12)$$

که \mathbf{F} بردار نیرو و \mathbf{K} ماتریس سختی کل سازه است.

شکل ۲. نمونه ای از گسسته سازی با روش چاردرختی

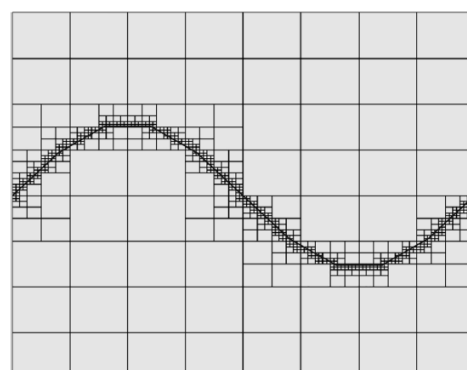


Fig. 2. A partitioning with quadtree method

در الگوریتم گسسته سازی چاردرختی، هر سلول اصلی که توسط مرز ناحیه قطع می شود به چهار زیر سلول یکسان تقسیم می شود.

و

$$\text{Cov}[\mathbf{u}, \mathbf{u}] = \sum_{j=1}^P \langle \psi_j^2 \rangle \mathbf{u}_j \mathbf{u}_j^T \quad (27)$$

۳-۲- حل عددی معادله انتگرالی فردヘルム

روش‌های گوناگونی برای حل عددی معادله انتگرالی فردヘルم نوع دوم پیشنهاد شده است که از میان آن‌ها می‌توان روش‌های المان محدود، المان طیفی، تحلیل ایزوژئومتریک و سلول محدود را نام برد [۶, ۱۲, ۱۴, ۱۷]. با توجه به اینکه روش سلول طیفی تصادفی از روش سلول طیفی برای حل این معادله استفاده می‌کند، نیاز است تا روابط ریاضی با این رویکرد نیز توسعه یابد. برای حل به روش سلول طیفی باید معادله انتگرالی فردヘルم به صورت زیر نوشته شود:

$$\int_{\Omega_{\text{ed}}} \alpha_C(\mathbf{x}, \mathbf{x}') C_{RR}(\mathbf{x}, \mathbf{x}') \varphi_n(\mathbf{x}') d\Omega_{\mathbf{x}'} = \alpha_B(\mathbf{x}) \lambda_n \varphi_n(\mathbf{x}) \quad (28)$$

که در آن λ_n و $\varphi_n(\mathbf{x})$ به ترتیب مقدار ویژه وتابع ویژه مود n است. همچنین می‌توان تابع ویژه را با تابع شکلی طیفی به صورت زیر بسط داد:

$$\varphi_n(\mathbf{x}) = \sum_{i=1}^{\infty} h_i(\mathbf{x}) d_i^n \quad (29)$$

که با استفاده از آن، ضرب طرفین معادله در تابع شکلی زام و گرفتن امید ریاضی از طرفین، به رابطه زیر می‌رسیم:

$$\int_{\Omega_x} \sum_{i=1}^N \left[\int_{\Omega_{x'}} \alpha_C(\mathbf{x}, \mathbf{x}') C_{RR}(\mathbf{x}, \mathbf{x}') h_i(\mathbf{x}') d\Omega_{\mathbf{x}'} \right. \\ \left. - \alpha_B(\mathbf{x}) \lambda_n h_i(\mathbf{x}) \right] d_i^n h_j(\mathbf{x}) d\Omega_{\mathbf{x}} = 0 \quad (30)$$

چنان‌که

$$\alpha_C(\mathbf{x}, \mathbf{x}') = \begin{cases} 1 & (\mathbf{x} \in \Omega) \wedge (\mathbf{x}' \in \Omega) \\ 0 & (\mathbf{x} \in \Omega_{\text{ed}} \setminus \Omega) \vee (\mathbf{x}' \in \Omega_{\text{ed}} \setminus \Omega) \end{cases} \quad (31)$$

و

$$\alpha_B(\mathbf{x}) = \begin{cases} 1 & \mathbf{x} \in \Omega \\ \varepsilon_0 & \mathbf{x} \in \Omega_{\text{ed}} \setminus \Omega \end{cases} \quad (32)$$

پس از انجام گسسته‌سازی و عملیات جبری، مسئله مقدار ویژه گسسته زیر حاصل می‌شود:

$$\mathbf{CD} = \mathbf{BDA} \quad (33)$$

شود. بنابراین با استفاده از معادله تعادل استاتیکی، داریم:

$$\left(\sum_{i=0}^M \mathbf{K}_i \xi_i(\theta) \right) \mathbf{U}(\theta) = \mathbf{F} \quad (18)$$

از سوی دیگر، جابه‌جایی‌ها را می‌توان با چندجمله‌ای‌های آشوبی تعمیم داد:

$$\mathbf{U}(\theta) = \sum_{j=0}^P \mathbf{U}_j \psi_j(\xi) \quad (19)$$

اکنون چنانچه M جمله از بسط کارهیون‌لو و P جمله از بسط چندجمله‌ای آشوبی برداشته شود، به مانند زیر می‌رسیم:

$$\left(\sum_{i=0}^M \mathbf{K}_i \xi_i(\theta) \right) \left(\sum_{j=0}^P \mathbf{U}_j \psi_j(\xi) \right) - \mathbf{F} = \mathbf{\epsilon} \quad (20)$$

برای کمینه‌سازی این مانده، باید طرفین معادله بر فضای ایجادشده با بسط چندجمله‌ای آشوبی متعامد باشد. بنابراین با ضرب جمله k ام در طرفین و گرفتن امید ریاضی، خواهیم داشت:

$$\langle \psi_k(\theta) \left(\sum_{i=0}^M \mathbf{K}_i \xi_i(\theta) \right) \left(\sum_{j=0}^P \mathbf{U}_j \psi_j(\xi) \right) \rangle \\ = \langle \psi_k(\theta) \mathbf{F} \rangle \quad (21)$$

درنتیجه همتای تصادفی معادله (۱۲) برابر است با:

$$\mathbf{K}_{st} \mathbf{U}_{st} = \mathbf{F}_{st} \quad (22)$$

به گونه‌ای که

$$\mathbf{K}_{st}^k = \sum_{i=0}^M \sum_{j=0}^P \langle \xi_i(\theta) \psi_j(\theta) \psi_k(\theta) \rangle \mathbf{K}_i \quad (23)$$

و

$$\mathbf{F}_{st}^k = \langle \psi_k(\theta) \mathbf{F} \rangle \quad (24)$$

که \mathbf{K}_{st} و \mathbf{F}_{st} به ترتیب ماتریس سختی و بردار نیرو در فضای تصادفی هستند. همان‌گونه که مشاهده می‌شود، دستگاه معادلات تصادفی در رابطه (۲۲) به اندازه $P+1$ برابر دستگاه معادلات تعیینی همتای خود است:

$$P + 1 = \frac{(M + p)!}{M! p!} \quad (25)$$

چنان‌که در آن p مرتبه چندجمله‌ای آشوبی است. برای محاسبه آمار پاسخ، میانگین و واریانس جابه‌جایی با روابط زیر به دست می‌آید:

$$\mathbf{E}[\mathbf{u}] = \mathbf{u}_0 \quad (26)$$

مقدار واحد، و ضریب پواسن برابر 0.33 است. از دو نوع شبکه با دو سطح پالایش چاردرختی برای مقایسه استفاده شده است. همان‌گونه که در جدول (۱) مشاهده می‌شود، مقادیر ویژه حاصل از روش سلول طیفی با هر دو شبکه نسبت به حل با روش‌های دیگر دقت مناسبی دارد. افزون بر این، با توجه به مقادیر ویژه، مشاهده می‌شود که دقت حل این معادله انتگرالی بیشتر وابسته به تعداد درجات آزادی است تا سطح پالایش چاردرختی. همچنین در جدول (۲) میانگین و انحراف معیار جایه‌جایی نقطه A با نتایج روش‌های دیگر مقایسه شده است، که همخوانی مناسبی با نتایج پژوهش‌های گذشته [۴, ۵, ۱۴] مشاهده می‌شود. گفتنی است که روش‌های المان محدود تصادفی و المان طیفی تصادفی از شبکه مورب^۱ برای حل این مسئله استفاده می‌کنند، اما روش پیشنهادی از شبکه کارتزین بهره می‌جوید.

شکل ۳. غشای کوک

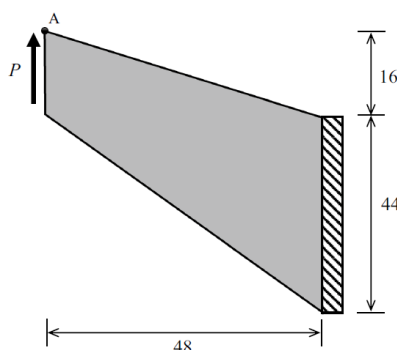


Fig. 3. Cook's membrane

که D و Λ به ترتیب ماتریس بردارهای ویژه و ماتریس مقادیر ویژه هستند.

حل به این روش موجب می‌شود که نیازی به تشکیل توابع ویژه نباشد زیرا در روش سلول طیفی نقاط انتگرال‌گیری روی نقاط گرهی قرار دارند؛ در نتیجه مزیت بیشتری نسبت به حل با روش سلول محدود خواهد داشت.

۴- نمونه‌های عددی

در این بخش، دو نمونه عددی مبنا برای ارزیابی روش سلول طیفی تصادفی و حل عددی معادله انتگرالی فردholm بررسی می‌شوند. این مسائل مبنا پیش از این با روش‌های المان محدود تصادفی، المان طیفی تصادفی، و سلول محدود تصادفی حل شده‌اند [۵, ۱۴, ۱۸]. تابع همبستگی به صورت نمایی فرض می‌شود. همچنین ضریب الاستیسیته با میدان تصادفی گاووسی و تابع کواریانس نمایی توصیف شده است. تعداد جملات بسط کارهیونن‌لو و چندجمله‌ای آشوبی به ترتیب ۶ و ۳ هستند. از سلول طیفی مرتبه سوم استفاده شده است.

۱-۴- غشای کوک

این نمونه عددی به تحلیل تصادفی سازه کوک می‌پردازد که در شکل (۳) نشان داده شده است. مقدار متوسط ضریب ارجاعی و انحراف معیار آن برای این سازه تنش مسطح به ترتیب ۱ و 10° است. طول همبستگی در راستای دو محور اصلی x و y به ترتیب برابر 48 و 60 است. برایند بار سطحی وارد شده برابر

جدول ۱. مقادیر ویژه محاسبه شده برای غشای کوک

| Mode number | Eigenvalues | | | | | | | |
|-------------|--------------------------|-------------------------|----------|------------|----------|----------|----------|----------|
| | FEM [5] | | SFEM [5] | | FCM [14] | | SCM | |
| | Mesh 12×8 (distorted) | Mesh 3×2 (distorted) | Mesh 6×8 | Mesh 12×16 | Mesh 3×4 | Mesh 6×8 | | |
| 1 | 875.2335 | 879.3547 | 879.4268 | 877.4833 | 877.3155 | 876.3058 | 880.5349 | 878.5941 |
| 2 | 202.1285 | 205.7641 | 203.2473 | 202.7703 | 202.6721 | 202.4204 | 204.1946 | 203.7173 |
| 3 | 66.7507 | 69.7813 | 67.2191 | 67.0017 | 66.9690 | 66.8723 | 68.1686 | 67.9561 |
| 4 | 58.9065 | 60.9066 | 59.4620 | 59.1859 | 59.1921 | 59.0531 | 59.8930 | 59.6143 |
| 5 | 31.7229 | 34.4315 | 31.9590 | 31.7897 | 31.9002 | 31.8204 | 32.8349 | 32.6783 |
| 6 | 28.0920 | 30.9499 | 28.1728 | 28.0567 | 28.1858 | 28.1432 | 29.5829 | 29.4661 |

Table 1. Eigensolutions obtained for the Cook's membrane

^۱ Distorted mesh

جدول ۲. جابه‌جایی قائم نقطه A برای غشای کوک

| Point Measure | StFEM [5] | StSFEM [5] | SFCM [14] | | | | SSCM | | | |
|----------------------|-----------------------------|-------------------------|-----------|------------|----------|----------|---------|---------|---------|---------|
| | Mesh 12×8 (distorted) | Mesh 3×2 (distorted) | Mesh 6×8 | Mesh 12×16 | Mesh 3×4 | Mesh 6×8 | | | | |
| | | | $k = 3$ | $k = 4$ | $k = 3$ | $k = 4$ | $k = 5$ | $k = 6$ | $k = 4$ | $k = 5$ |
| Mean | 23.7773 | 24.9384 | 24.5173 | 24.5789 | 24.2455 | 24.3210 | 24.9199 | 25.0605 | 25.4724 | 25.4840 |
| A Standard deviation | 1.8806 | 1.9997 | 1.9351 | 1.9403 | 1.9131 | 1.9191 | 1.9620 | 1.9723 | 2.0023 | 2.0018 |

Table 2. Vertical displacement at point A on the Cook's membrane

شکل ۵. میدان‌های جابه‌جایی انحراف معیار برای غشای کوک

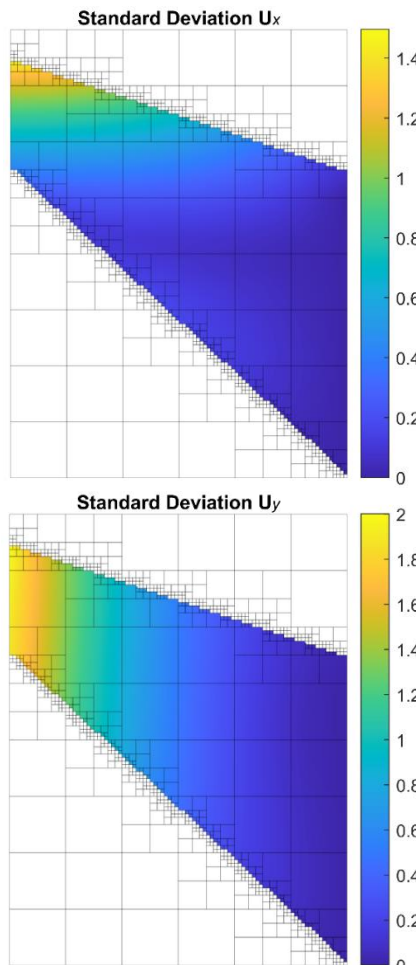


Fig. 5. Standard deviation of displacement fields for the Cook's membrane

شکل ۴. میدان‌های جابه‌جایی میانگین برای غشای کوک

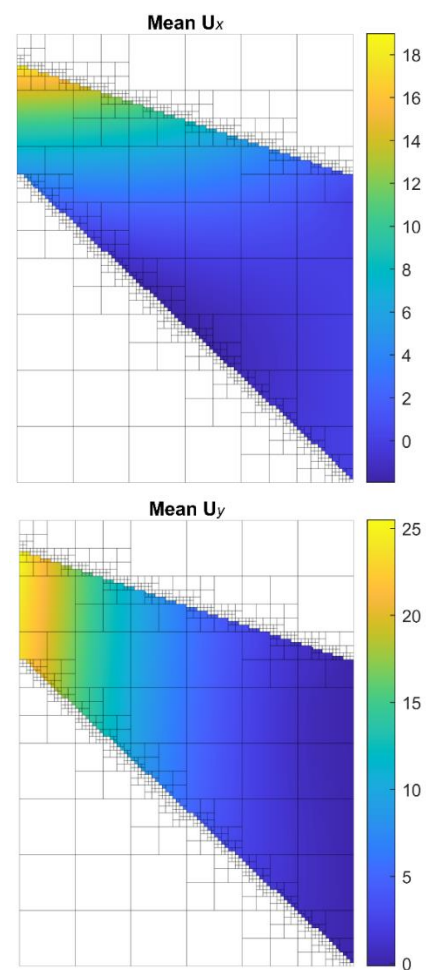


Fig. 4. Mean of displacement fields for the Cook's membrane

۴-۲- صفحه حفره دار

این نمونه مبنا شامل تحلیل یک صفحه تنفس مسطح دارای بارهای گستردۀ کششی با روش سلول طیفی تصادفی است که جزئیات بارگذاری آن در منبع [18] آمده است. مبدأ مختصات مرکز حفره بوده و جابه‌جایی قائم گره A در حاشیه حفره به مختصات (۰، ۰) مدنظر است. مقدار متوسط و انحراف معیار ضریب ارتقای به ترتیب 10^4 و 2×10^3 تعریف شده‌اند. صفحه با ضخامت واحد

شکل‌های (۴ و ۵) میدان‌های میانگین و انحراف معیار جابه‌جایی، حاصل از نتایج شبکه ریزتر با سطح پالایش بالاتر (شبکه ۶×8 با سطح پالایش ۵)، را نمایش می‌دهند. مقایسه این شکل‌ها با نتایج منابع [۱۴, ۵] نشان می‌دهد که روش پیشنهادی دقت مناسبی دارد. در این شکل‌ها، خطوط خاکستری کمنگ شبکه انتخابی را همراه با زیرسلول‌های حاصل از الگوریتم چاردرختی نشان می‌دهند.

البته بدیهی است که برای شبکه درشت‌تر دقت کمتری مشاهده می‌شود اما این دقت کمتر در رقمهای اعشاری بالاتر مشهود است. همچنین جابه‌جایی قائم نقطه A (شکل ۶، در همسایگی حفره) در جدول (۴) مقایسه شده است که سازگاری مناسبی با نتایج پژوهش گذشته (روش سلول محدود تصادفی [۱۴]) دارد. میدان‌های جابه‌جایی متوسط و انحراف معیار در شکل‌های (۷) و (۸) آمده‌اند. برای اختصار، تنها میدان‌های جابه‌جایی ناشی از شبکه ریزتر با سطح پالایش بالاتر (شبکه 6×6 با سطح پالایش ۶) نمایش داده شده‌اند.

در شکل‌های (۹) و (۱۰) به ترتیب تابع چگالی احتمال و تابع توزیع تجمعی برای جابه‌جایی قائم گره A محاسبه و ترسیم شده‌اند، که براساس نتایج تحلیل با شبکه 6×6 و دو سطح پالایش ۵ و ۶ هستند. همان‌گونه که مشاهده می‌شود، در مقایسه با روش سلول محدود تصادفی [۱۴] و روش المان محدود تصادفی [۱۸]، روش سلول طیفی تصادفی دقت خوبی در محاسبه این توابع احتمالاتی دارد.

شکل ۸. میدان‌های جابه‌جایی انحراف معیار برای صفحه حفره‌دار

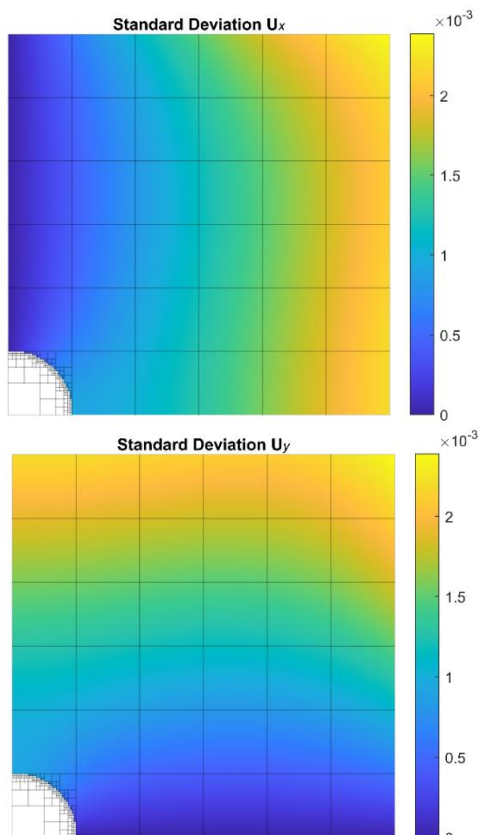


Fig. 8. Standard deviation of displacement fields for the plate with hole

درنظر گرفته شده و طول همبستگی در هر دو راستای اصلی ۱۲ واحد است. جدول (۳) مقادیر ویژه بسط کارهیونن‌لو را با دو نوع شبکه دارای دو سطح پالایش چاردرختی مقایسه می‌کند. مقادیر ویژه حاصل از روش سلول طیفی با هر دو شبکه نسبت به حل روش‌های دیگر دقت مناسبی دارد.

شکل ۶. صفحه حفره‌دار

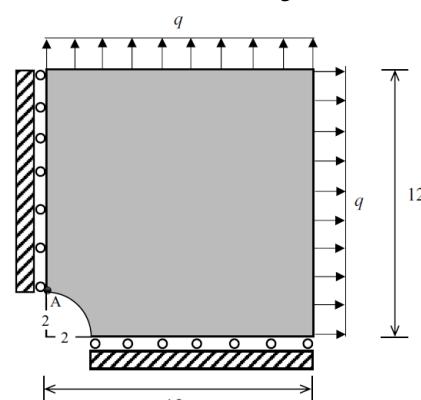


Fig. 6. A Plate with hole

شکل ۷. میدان‌های جابه‌جایی میانگین برای صفحه حفره‌دار

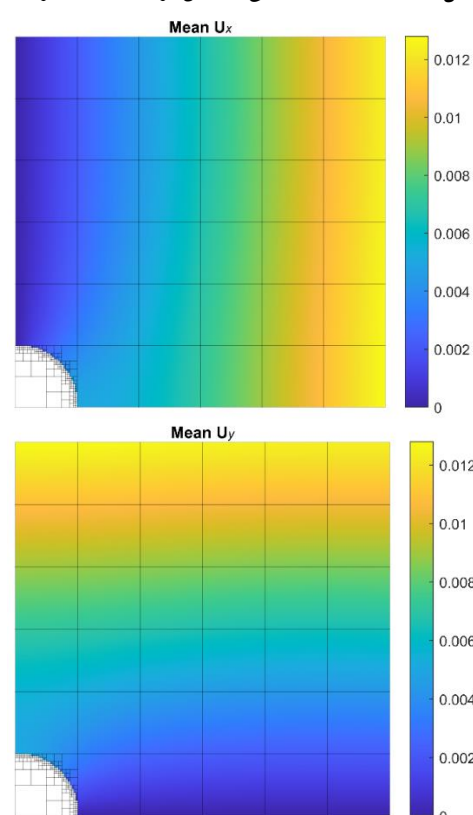


Fig. 7. Mean of displacement fields for the plate with hole

جدول ۳. مقادیر ویژه محاسبه شده برای صفحه حفره دار

| Mode number | Eigenvalues | | | | | | | |
|-------------|-------------|------------|----------|----------|---------|---------|---------|---------|
| | FCM [14] | | SCM | | | | | |
| | Mesh 6×6 | Mesh 12×12 | Mesh 4×4 | Mesh 6×6 | k = 5 | k = 6 | k = 4 | k = 5 |
| 1 | 77.5171 | 77.5190 | 77.4781 | 77.4800 | 77.7774 | 77.7833 | 77.6039 | 77.6116 |
| 2 | 14.7097 | 14.7097 | 14.6889 | 14.6889 | 14.8829 | 14.8829 | 14.7703 | 14.7703 |
| 3 | 13.8498 | 13.8511 | 13.8307 | 13.8320 | 13.9823 | 13.9863 | 13.9011 | 13.9064 |
| 4 | 4.8087 | 4.8088 | 4.7995 | 4.7995 | 4.9751 | 4.9751 | 4.8735 | 4.8735 |
| 5 | 4.5599 | 4.5601 | 4.5519 | 4.5522 | 4.7073 | 4.7082 | 4.6201 | 4.6212 |
| 6 | 2.6031 | 2.6033 | 2.5988 | 2.5990 | 2.6740 | 2.6746 | 2.6292 | 2.6299 |

Table 3. Eigensolutions obtained for the plate with hole

جدول (۴) جابه جایی قائم نقطه A برای صفحه حفره دار

| Point | Measure | Collocation-based StFEM [18] | SFCM [14] | | | | SSCM | | | |
|-------|--------------------|------------------------------|-----------|--------|------------|--------|----------|--------|----------|--------|
| | | | Mesh 6×6 | | Mesh 12×12 | | Mesh 4×4 | | Mesh 6×6 | |
| | | | k = 5 | k = 6 | k = 4 | k = 5 | k = 6 | k = 7 | k = 5 | k = 6 |
| A | Mean | 0.4891E-2 | 0.4990 | 0.4985 | 0.5095 | 0.5094 | 0.5636 | 0.5543 | 0.5123 | 0.5105 |
| | Standard deviation | | 0.0920 | 0.0919 | 0.0937 | 0.0936 | 0.1013 | 0.0998 | 0.0944 | 0.0941 |

Table 4. Vertical displacement at point A on the plate with hole

شکل ۱۰.تابع توزیع تجمعی برای جابه جایی قائم نقطه A برای صفحه

شکل ۹- تابع چگالی احتمال برای جابه جایی قائم نقطه A برای صفحه

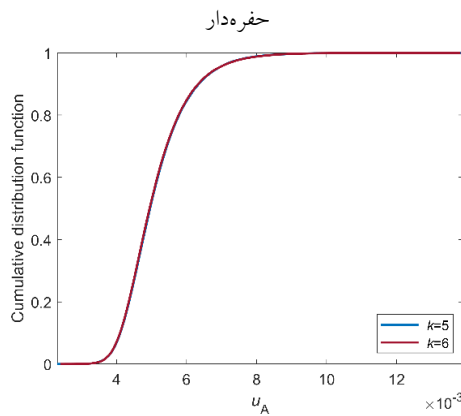


Fig. 10. Cumulative distribution function for vertical displacement at point A on the plate with hole

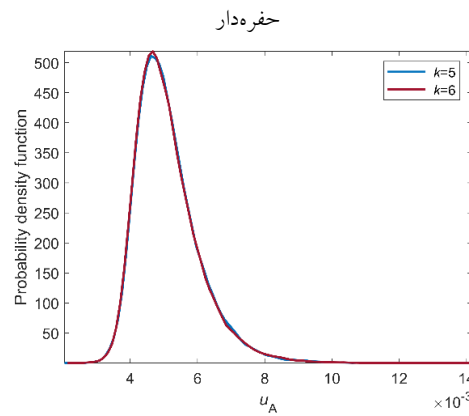


Fig. 9. Probability density function for vertical displacement at point A on the plate with hole

که منجر به توابع شکل مرتبه بالا می شود، بهره می جوید. روش پیشنهادی دارای مزیت های قابل توجهی نسبت به المان محدود تصادفی استی است که از جمله می توان استفاده از تعداد المان کمتر، حل عددی کارآمد بسط کارهیونن لو، دقت مناسب در مسائل استاتیکی، تحلیل موثر سازه دارای هندسه پیچیده، و استفاده از شبکه کارتزین را نام برد. همچنین برخلاف روش سلول محدود تصادفی، روش پیشنهادی نیازی به تشکیل توابع ویژه ندارد که این ویژگی منجر به افزایش سرعت حل عددی

۵- نتیجه گیری

این پژوهش روش سلول طیفی تصادفی را برای حل مسائل الاستواستاتیک توسعه می دهد. در این راستا، ابتدا فرمول بندی حل عددی معادله انتگرالی فردھلم نوع دوم ناشی از بسط کارهیونن لو با روش سلول طیفی ارائه شده است، و سپس روش سلول طیفی تصادفی برای حل مسئله الاستواستاتیک با لحاظ عدم قطعیت مصالح توسعه داده شده است. روش سلول طیفی تصادفی از توابع درون یابی لگرانژ و نقاط گاوس-لوباتو-لزاندر،

- [9] Parvizian J, Düster A, Rank E. Finite cell method. *Computational Mechanics*. 2007;41:121-33.
- [10] Komatitsch D, Tromp J. Introduction to the spectral element method for three-dimensional seismic wave propagation. *Geophysical Journal International*. 1999;139:806-22.
- [11] Komatitsch D, Vilotte J-P, Vai R, Castillo-Covarrubias JM, Sánchez-Sesma FJ. The spectral element method for elastic wave equations—application to 2-D and 3-D seismic problems. *International Journal for Numerical Methods in Engineering*. 1999;45:1139-64.
- [12] Li K, Gao W, Wu D, Song C, Chen T. Spectral stochastic isogeometric analysis of linear elasticity. *Computer Methods in Applied Mechanics and Engineering*. 2018;332:157-90.
- [13] Li K, Wu D, Gao W, Song C. Spectral stochastic isogeometric analysis of free vibration. *Computer Methods in Applied Mechanics and Engineering*. 2019;350:1-27.
- [14] Zakian P. Stochastic finite cell method for structural mechanics. *Computational Mechanics*. 2021;68:185-210.
- [15] Hughes TJR, Cottrell JA, Bazilevs Y. Isogeometric analysis: CAD, finite elements, NURBS, exact geometry and mesh refinement. *Computer Methods in Applied Mechanics and Engineering*. 2005;194:4135-95.
- [16] Joulaian M, Duczek S, Gabbert U, Düster A. Finite and spectral cell method for wave propagation in heterogeneous materials. *Computational Mechanics*. 2014;54:661-75.
- [17] Oliveira SP, Azevedo JS. Spectral element approximation of Fredholm integral eigenvalue problems. *Journal of Computational and Applied Mathematics*. 2014;257:46-56.
- [18] Huang S, Mahadevan S, Rebba R. Collocation-based stochastic finite element analysis for random field problems. *Probabilistic Engineering Mechanics*. 2007;22:194-205.

معادله انتگرالی فردھلم می‌شود و در کاهش زمان کل تحلیل تصادفی نقش دارد. از سویی دیگر، محاسبات نشان می‌دهد که حل عددی معادله انتگرالی فردھلم وابستگی چندانی به سطح پالایش نداشته و بیشتر به تعداد درجات آزادی بستگی دارد (وابسته به تعداد سلول‌های طیفی). با توجه به نمونه‌های عددی حل شده، مشاهده می‌شود که روش سلول طیفی تصادفی می‌تواند دقیق و کارایی مناسبی در حل مسائل الاستواستاتیک ارائه دهد.

۶- سپاسگزاری

این اثر تحت پشتیبانی مادی صندوق حمایت از پژوهشگران و فناوران کشور (INSF) برگرفته از طرح شماره ۴۰۰۳۴۱۰ انجام شده است.

۷- منابع

- [1] Kaminski M. *The Stochastic Perturbation Method for Computational Mechanics* Hoboken: Wiley; 2013.
- [2] Ghanem RG, Spanos PD. *Stochastic Finite Elements: A Spectral Approach*: Dover Publications; 2003.
- [3] Stefanou G. The stochastic finite element method: Past, present and future. *Computer Methods in Applied Mechanics and Engineering*. 2009;198:1031-51.
- [4] Zakian P, Khaji N. A novel stochastic-spectral finite element method for analysis of elastodynamic problems in the time domain. *Mechanica*. 2016;51:893-920.
- [5] Khaji N, Zakian P. Uncertainty analysis of elastostatic problems incorporating a new hybrid stochastic-spectral finite element method. *Mechanics of Advanced Materials and Structures*. 2017;24:1030-42.
- [6] Zakian P, Khaji N, Kaveh A. Graph theoretical methods for efficient stochastic finite element analysis of structures. *Computers & Structures*. 2017;178:29-46.
- [7] Zakian P, Khaji N. A stochastic spectral finite element method for wave propagation analyses with medium uncertainties. *Applied Mathematical Modelling*. 2018;63:84-108.
- [8] Zakian P, Khaji N. A stochastic spectral finite element method for solution of faulting-induced wave propagation in materially random continua without explicitly modeled discontinuities. *Computational Mechanics*. 2019;64:1017-48.

Stochastic analysis of elastostatic problems with material uncertainty using spectral cell method

P. Zakian*

Associate Professor of Earthquake Engineering, Department of Civil Engineering, Faculty of Engineering, Arak University, Arak, Iran

p-zakian@araku.ac.ir*

Abstract

Nowadays, advances in numerical methods have led to model real-life physical problems effectively. One of the difficulties in modelling the real-life physical problems is the geometric creation, because the mesh definition for a complex geometry is hard. In order to overcome this issue, one can use the spectral cell method due to employing a Cartesian mesh even for a complex geometry, such that constant Jacobian is considered for cells in the mesh. Spectral cell method is a combination of the spectral element method and the fictitious domain concept, which uses an adaptive integration employing the quadtree or octree partitioning for the cells intersecting arbitrary boundaries as well as the cells including nonuniform material distribution. The interpolation functions of Lobatto family of spectral elements are utilized in spectral cell method. The spectral cell method is an efficient numerical method to solve the governing equations of continuum structures with complicated geometries. On the other hand, uncertainty naturally exists in the parameters of an engineering system (e.g., elastic modulus) and the input of that system (e.g., loading). Thus, the effects of those uncertainties are important in the response calculation of the engineering system. There are two types of uncertainty: aleatoric and epistemic. Aleatoric uncertainty is defined as an intrinsic variability of certain quantities, while epistemic uncertainty is defined as a lack of knowledge about certain quantities. An alternative to a deterministic modelling is a stochastic modelling, but analysing such a stochastic model is harder than a deterministic model having deterministic material properties and configuration. This is because the behaviour of the stochastic model is inevitably stochastic. Traditionally, Monte-Carlo simulation analyses a stochastic model by generating numerous realizations of the stochastic problem, and then solves each one like a deterministic problem. Nevertheless, Monte-Carlo simulation needs very high computational cost, particularly for large-scale problems. A systematic technique for uncertainty quantification is the stochastic finite element method providing a variety of statistical information. However, the method is computationally expensive with respect to the finite element method, and thus there are many developments for stochastic methods. Consequently, this paper presents stochastic form of spectral cell method to solve elastostatic problems considering material uncertainties. Therefore, uncertainty quantification of an elastostatic problem with geometrically complex domain can be modelled more efficiently than the traditional stochastic finite element method. In the proposed method, Fredholm integral equation is discretised using spectral cell method to solve Karhunen-Loève expansion used for the random field decomposition. Also, this method uses fewer cells than the stochastic finite cell method, and does not require formation of the eigenfunctions. In addition, Karhunen-Loève and polynomial chaos expansions are used to decompose the random field and to consider the response variability, respectively. Simple mesh generation, desirable accuracy and computational cost are the main features of the present method. In this study, two benchmark numerical examples are provided to demonstrate the efficiency and capabilities of the proposed method in the solution of elastostatic problems. The results are compared to those of stochastic finite element method and stochastic spectral element method.

Keywords: Elastostatic problem, Stochastic spectral cell method, Probabilistic structural analysis, Fredholm integral equation, Material uncertainty.